

# ET720 - Sistemas de Energia Elétrica I

Henrique Koji Miyamoto

## 1 Introdução aos sistemas de energia elétrica

## 2 Cálculo de fluxo de carga

Os componentes de um sistema de potência são apresentados na Tabela 1.

Tabela 1: Componentes de um sistema de potência.

Componente	Função	Representação
Geração	fonte de suprimento de energia elétrica	fonte de tensão CA
Carga	consomem energia	resistência e reatância em derivação
Transmissão	condutores que levam energia da geração às cargas	resistência e reatância em série

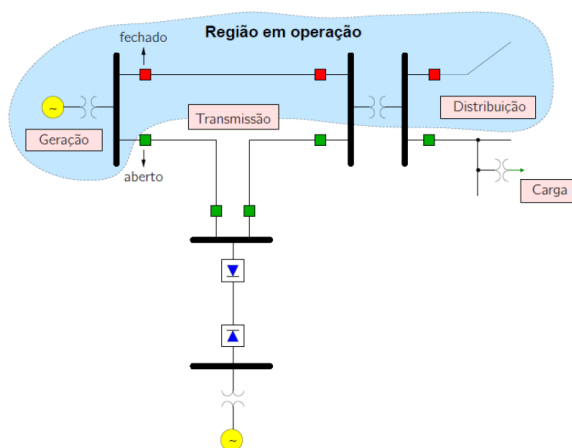


Figura 1: Sistema de potência.

Requisitos para operação em regime de um sistema trifásico:

- A potência de geração deve suprir o consumo das cargas e de perdas (ativa e reativa).
- Os módulos de tensão nas barras deve permanecer em torno do nominal (1 pu).
- Os geradores devem operar dentro dos limites de potência ativa e reativa. Linhas de transmissão e transformadores devem operar sem sobrecargas.

É desejável que as fases estejam em equilíbrio, i.e.,  $\|\hat{I}_a\| \approx \|\hat{I}_b\| \approx \|\hat{I}_c\|$  e  $\|\hat{V}_a\| \approx \|\hat{V}_b\| \approx \|\hat{V}_c\|$ , defasados de  $120^\circ$ . Isso ocorre principalmente em sistemas de alta e ultra-alta tensão na transmissão. Nesse caso, pode-se usar a representação monofásica e o diagrama unifilar. Mas, em redes de distribuição, pode ser necessário usar representação trifásica.

**Revisão.** Convenções para representações monofásica e unifilar.

### 1. Circuito monofásico:

- Geradores e cargas **em Y** (ou equivalente).
- Usam-se **tensões de fase e correntes de linha**.
- Bancos transformadores são representados por **Y-Y** (ou equivalente).

### 2. Diagrama unifilar:

- Indicam-se *tensões de linha e potências trifásicas*<sup>1</sup>.
- *Correntes de linha e impedâncias Y (ou equivalente)*.

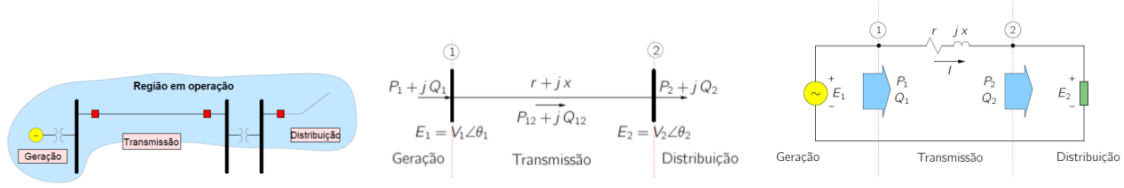


Figura 2: Representações unifilar e monofásico equivalente de um sistema de potência.

**Revisão.** Sistema P.U. (por unidade):

$$S_{base} = S_{3\phi} = 3V_f I_f, \quad V_{base} = V_l, \quad I_{base} = \frac{S_{base}}{\sqrt{3}V_{base}}, \quad Z_{base} = \frac{V_{base}^2}{S_{base}}$$

## 2.1 Formulação básica

O problema de *fluxo de carga* consiste em obter as condições de operação de uma rede elétrica em função de sua topologia e dos níveis de demanda e geração de potências. Faremos análise apenas estática, desconsiderando transitórios<sup>2</sup>. Dessa maneira, a rede é representada por um conjunto de equações (e inequações) algébricas.

O sistema de energia é representado por circuitos equivalentes. Há dois tipos de componentes (Tabela 2). A geração e a distribuição são modeladas como injeções de potência no barramento. A linha de transmissão é modelada por um circuito RL em série.

Tabela 2: Componentes da rede elétrica.

Geradores (G) Cargas (L) Reatores <i>shunt</i> (RSh) Capacitores <i>shunt</i> (CSh)	Ligados entre um nó qualquer a o nó terra
Linhas de transmissão (LT) Transformadores (TR)	Ligados entre dois nós quaisquer

As equações do sistema são obtidas aplicando o princípio da conservação de energia em cada nó e a lei de Ohm nos componentes. A resolução do problema típico de sistemas de energia requer o uso de um procedimento algorítmico, pois ele se torna rapidamente difícil para redes maiores<sup>3</sup>.

**Barras** Os nós do sistema são representados por barras, caracterizadas por duas grandezas complexas: *tensão* ( $E_k = V_k \angle \theta_k$ ) e *potência* ( $S_k = P_k + jQ_k$ )<sup>4</sup>. Podemos classificar as barras com relação às variáveis que são conhecidas/desconhecidas em cada uma delas (Tabela 3).

Tabela 3: Tipos de barras.

Tipo	Dados	Incógnitas	Características
PQ	$P_k, Q_k$	$V_k, \theta_k$	Barras de carga
PV	$P_k, V_k$	$Q_k, \theta_k$	Barras de geração
Vθ (referência ou <i>slack</i> )	$V_k, \theta_k$	$P_k, Q_k$	Barras de geração

As barras de geração do tipo PV incluem condensadores síncronos. A barra de referência tem dupla função: (i) fornecer a referência angular do sistema e (ii) fechar o balanço de potência, levando em conta as perdas de transmissão não conhecidas no início do problema (por isso, costuma-se escolhê-la como uma unidade geradora de grande capacidade).

**Cargas** As cargas são modeladas como injeções de potências nas barras<sup>5</sup>. A convenção de sinais será a seguinte:

- $P_k > 0$  - potência entrando - geração
- $P_k < 0$  - potência saindo - consumo

<sup>1</sup>Não obstante, nos cálculos, utilizam-se *tensões de fase e potências monofásicas*.

<sup>2</sup>Consideramos que a variação temporal é suficientemente lenta para que possamos desconsiderar o efeito transitório.

<sup>3</sup>Algumas ideias para resolvê-lo são: resolução analítica e por tentativa e erro.

<sup>4</sup>A potência líquida representa a diferença entre geração e consumo:  $S_k = S_k^G - S_k^C$ .

<sup>5</sup>Trataremos apenas de potências constantes

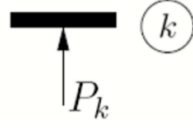


Figura 3: Representação de injeção de potência na barra  $k$ .

**Linhas de transmissão** Modelamos as linhas de transmissão com o modelo  $\pi$ , em que  $r$  é a resistência série,  $x$  é a reatância série e  $b$  é o carregamento total *charging* (o dobro da admitância *shunt*).

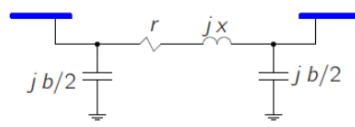


Figura 4: Modelo  $\pi$  para linhas de transmissão.

## 2.2 Formulação nodal

Considere a rede da Figura 2.2, em que foi aplicada a definição de potências e correntes líquidas e o modelo  $\pi$  equivalente para linhas de transmissão.

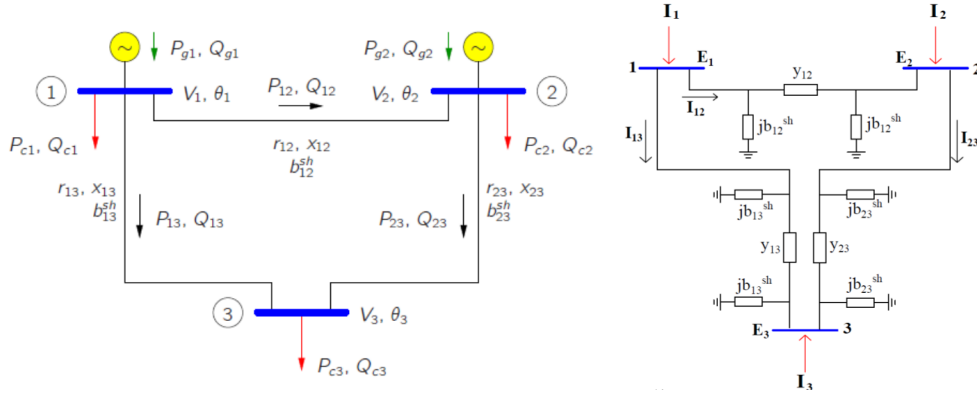


Figura 5: Exemplo de rede elétrica.

Aplicando a lei das correntes de Kirchhoff em todos os nós, obtemos, em notação matricial:

$$I = YE$$

$$\begin{bmatrix} I_1 \\ I_2 \\ I_3 \end{bmatrix} = \begin{bmatrix} y_{12} + y_{13} + jb_{12}^{sh} + jb_{13}^{sh} & -y_{12} & -y_{13} \\ -y_{12} & y_{12} + y_{23} + jb_{12}^{sh} + jb_{23}^{sh} & -y_{23} \\ -y_{13} & -y_{23} & y_{13} + y_{23} + jb_{13}^{sh} + jb_{23}^{sh} \end{bmatrix} \begin{bmatrix} E_1 \\ E_2 \\ E_3 \end{bmatrix}$$

onde  $I_{n \times 1}$  é o vetor de injeções nodais de corrente,  $E_{n \times 1}$  é o vetor de tensões nodais,  $Y_{n \times n}$  é a matriz de admitância nodal e  $n$  é o número de barras na rede.

A matriz  $Y_{n \times n}$  é formada da seguinte forma:

- Elementos fora da diagonal principal:  $Y_{km} = -y_{km}$
- Elementos da diagonal principal:  $Y_{kk} = \sum_{m \in \Omega_k} (y_{km} + jb_{km}^{sh})$ <sup>6</sup>

A matriz de admitância pode ser separada em matriz condutância e matriz susceptância:

$$Y = \Re\{Y\} + j\Im\{Y\} = G + jB$$

A corrente em cada barra pode ser calculada como

$$I_k = \sum_{m \in K} Y_{km} E_m = Y_{kk} E_k + \sum_{m \in \Omega_k} Y_{km} E_m$$
<sup>7</sup>

<sup>6</sup> $\Omega_k$  é o conjunto das barras conectadas diretamente à barra  $k$ .

<sup>7</sup> $K$  é o conjunto formado pela barra  $k$  e suas vizinhas.

Para deduzir as equações de potência, substituímos a equação para  $I_k$  acima em  $S_k = E_k I_k^*$ , obtendo:

$$P_k = V_k \sum_{m \in K} V_m (G_{km} \cos \theta_{km} + B_{km} \sin \theta_{km})$$

$$Q_k = V_k \sum_{m \in K} V_m (G_{km} \sin \theta_{km} - B_{km} \cos \theta_{km})$$

onde  $\theta_{km} := \theta_k - \theta_m = \arg(E_k) - \arg(E_m)$  e  $Y_{km} = G_{km} + jB_{km}$ .

**Comentário sobre a resolubilidade do problema** Para as barras PQ e PV, é possível escrever as equações de  $P_k$  e, para as barras PQ, é possível escrever as equações de  $Q_k$ . Portanto, temos  $N_{PQ} + N_{PV}$  equações de  $P_k$  e  $N_{PQ}$  equações de  $Q_k$ , totalizando  $2N_{PQ} + N_{PV}$  equações.

As incógnitas são  $V_k$  e  $\theta_k$  nas barras PQ e  $\theta_k$  nas barras PV. No total, temos  $2N_{PQ} + N_{PV}$  incógnitas, que é o mesmo número de equações. Portanto o sistema é possível e determinado.

Uma vez determinado o valor das incógnitas, pode-se calcular  $P_k, Q_k$  na barra de referência e  $Q_k$  nas barras PV.

**Ideia da resolução** A ideia da resolução é:

1. De alguma maneira, determinar os fasores de tensão.
2. A partir deles, calcular as potências  $P_k$  nas barras PQ e PV e  $Q_k$  nas barras PQ.
3. Comparar tais valores calculados ( $P_k^{calc}, Q_k^{calc}$ ) com os especificados pelo problema ( $P_k^{esp}, Q_k^{esp}$ ).

Para fazer a comparação, calculam-se  $\Delta P_k, \Delta Q_k$ , os erros de potência, resíduos de potência ou *mismatches* de potência.

$$\Delta P_k = P_k^{esp} - P_k^{calc}$$

$$\Delta Q_k = Q_k^{esp} - Q_k^{calc}$$

Idealmente, o problema está solucionado quando esses erros se anulam. Na prática, vamos aceitar uma solução que tenha ambos os erros abaixo de certa tolerância  $\epsilon$ .

**Método de Newton** É o método usado para a resolução do problema de fluxo de carga. Apresentamos o algoritmo para o caso multidimensional, em que o objetivo é encontrar a solução para  $g(x) = 0$ , onde  $g(x) = [g_1(x) \dots g_n(x)]^T$  é o vetor de *mismatches* e  $x = [x_1 \dots x_n]^T$  é o vetor de incógnitas.

---

**Algoritmo 1:** Algoritmo do método de Newton para caso multidimensional.

---

**Entrada:** Ponto inicial  $x_0$  e sistema de equações  $g(x) = 0$

**Saída:** Solução  $x$

---

```

1 início
2   Inicializar o contador de iterações  $v \leftarrow 0$  e fazer  $x^{(0)} \leftarrow x_0$ .
3   Calcular o valor de  $g(x^{(v)})$ .
4   Testar a convergência:
5   se  $|g_i(x^{(v)})| \leq \epsilon, \forall i = 1, 2, \dots, n$  então
6      $x \leftarrow x^{(v)}$  é a solução procurada com tolerância  $\pm\epsilon$ .
7     return  $x$ 
8   fim
9   Calcular a matriz jacobiana  $J(x^{(v)}) = \left[ \frac{\partial}{\partial x_j} g_i \right]$ .
10  Calcular novo ponto  $\Delta x^{(v)} \leftarrow J^{-1} g(x^{(v)})$ ,  $x^{(v+1)} \leftarrow x^{(v)} + \Delta x^{(v)}$ 
11  Incrementar contador  $v \leftarrow v + 1$  e voltar para linha 3.
12 fim
```

---

No problema de fluxo de carga:

$$x = \begin{bmatrix} \theta \\ V \end{bmatrix}, \quad g(x) = \begin{bmatrix} \Delta P \\ \Delta Q \end{bmatrix} = \begin{bmatrix} P^{esp} - P^{calc} \\ Q^{esp} - Q^{calc} \end{bmatrix}, \quad J(x) = \begin{bmatrix} \frac{\partial}{\partial \theta} \Delta P & \frac{\partial}{\partial V} \Delta P \\ \frac{\partial}{\partial \theta} \Delta Q & \frac{\partial}{\partial V} \Delta Q \end{bmatrix}$$

Vantagens e desvantagens do método de Newton:

- É mais confiável (converge em casos que outros métodos divergem).
- O número de iterações necessárias para convergência independe da dimensão.
- Requer mais espaço de armazenamento (matriz jacobiana).
- O tempo computacional por iteração é maior (inversão e multiplicação com matriz jacobiana).
- Tem convergência rápida (quadrática).
- Não é sensível à escolha da barra de referência, mas o é à escolha do ponto inicial.

**Cálculo da matriz jacobiana** Como o cálculo dos *mismatches* envolve um termo constante (especificado), podemos simplificar a matriz jacobiana. Por exemplo:

$$\Delta P = P^{esp} - P^{calc}(V, \theta) \Rightarrow \frac{\partial}{\partial \theta} \Delta P = -\frac{\partial}{\partial \theta} P^{calc}$$

É comum representar a matriz jacobiana em termos de submatrizes:

$$J(x) = - \begin{bmatrix} H & N \\ M & L \end{bmatrix}, \text{ onde } H = \frac{\partial P}{\partial \theta}, N = \frac{\partial P}{\partial V}, M = \frac{\partial Q}{\partial \theta}, L = \frac{\partial Q}{\partial V}$$

Assim:

$$g(x) = -J(x)\Delta x \Rightarrow \begin{bmatrix} P^{esp} - P^{calc} \\ Q^{esp} - Q^{calc} \end{bmatrix} = \begin{bmatrix} H & N \\ M & L \end{bmatrix} \begin{bmatrix} \Delta \theta \\ \Delta V \end{bmatrix}$$

As componentes das submatrizes são:

$$\begin{aligned} H & \begin{cases} H_{km} = \frac{\partial P_k}{\partial \theta_m} = V_k V_m (G_{km} \sin \theta_{km} - B_{km} \cos \theta_{km}) \\ H_{kk} = \frac{\partial P_k}{\partial \theta_k} = -B_{kk} V_k^2 - Q_k \end{cases} \\ N & \begin{cases} N_{km} = \frac{\partial P_k}{\partial V_m} = V_k (G_{km} \cos \theta_{km} + B_{km} \sin \theta_{km}) \\ N_{kk} = \frac{\partial P_k}{\partial V_k} = V_k^{-1} (P_k + G_{kk} V_k^2) \end{cases} \\ M & \begin{cases} M_{km} = \frac{\partial Q_k}{\partial \theta_m} = -V_k V_m (G_{km} \cos \theta_{km} + B_{km} \sin \theta_{km}) \\ M_{kk} = \frac{\partial Q_k}{\partial \theta_k} = -G_{kk} V_k^2 + P_k \end{cases} \\ L & \begin{cases} L_{km} = \frac{\partial Q_k}{\partial V_m} = V_k (G_{km} \sin \theta_{km} - B_{km} \cos \theta_{km}) \\ L_{kk} = \frac{\partial Q_k}{\partial V_k} = V_k^{-1} (Q_k - B_{kk} V_k^2) \end{cases} \end{aligned}$$

**Perdas** O fluxo de potência na linha que liga a barra  $k$  a  $m$  é dado por

$$S_{km}^* = E_k^* I_{km}, \quad I_{km} = y_{km}(E_k - E_m) + j b_{km}^{sh} E_k$$

As perdas de potência na linha  $km$  são

$$\begin{aligned} P_{perdas} &= P_{km} + P_{mk} = g_{km}(V_k^2 + V_m^2 - 2V_k V_m \cos \theta_{km}) \\ &= g_{km}|E_k - E_m|^2 \end{aligned}$$

$$\begin{aligned} Q_{perdas} &= Q_{km} + Q_{mk} = -b_{km}^{sh}(V_k^2 + V_m^2) - 2b_{km}(V_k^2 + V_m^2 - 2V_k V_m \cos \theta_{km}) \\ &= -b_{km}^{sh}(V_k^2 + V_m^2) - b_{km}|E_k - E_m|^2 \end{aligned}$$

## Referências

- [1] MONTICELLI, Alcir e GARCIA, Arioaldo. *Introdução a sistemas de energia elétrica*. Campinas, SP: Editora da Unicamp, 2003.

---

**Algoritmo 2:** Algoritmo do método de Newton para o problema de fluxo de potência.

---

**Entrada:** Ponto inicial  $(\theta_k^0, V_k^0)$ , sistema de equações  $P_k, Q_k$  e parâmetros das linhas  $Y$

**Saída:** Solução  $(\theta_k, V_k)$

1 **início**

2     Inicializar o contador de iterações  $v \leftarrow 0$  e fazer  $\theta_k^{(v)} \leftarrow \theta_k^0$  e  $V_k^{(v)} \leftarrow V_k^0$

3     Calcular  $P_k(\theta_k^{(v)}, V_k^{(v)})$  e  $Q_k(\theta_k^{(v)}, V_k^{(v)})$  e os *mismatches*  $\Delta P_k^{(v)}$  e  $\Delta Q_k^{(v)}$ .

4     Testar a convergência:

5     **se**  $\max\{|\Delta P_k^{(v)}|\} \leq \epsilon$  e  $\max\{|\Delta Q_k^{(v)}|\} \leq \epsilon$  **então**

6          $(\theta_k, V_k) \leftarrow (\theta_k^{(v)}, V_k^{(v)})$  é a solução procurada com tolerância  $\pm\epsilon$ .

7         Calcular  $P_k$  e  $Q_k$  na barra de referência e  $Q_k$  nas barras PV.

8     **fim**

9     Calcular a matriz jacobiana  $J(\theta^{(v)}, V^{(v)}) = \begin{bmatrix} H(\theta^{(v)}, V^{(v)}) & N(\theta^{(v)}, V^{(v)}) \\ M(\theta^{(v)}, V^{(v)}) & L(\theta^{(v)}, V^{(v)}) \end{bmatrix}$

10     Calcular novos valores  $\begin{cases} \theta^{(v+1)} = \theta^{(v)} + \Delta\theta^{(v)} \\ V^{(v+1)} = V^{(v)} + \Delta V^{(v)} \end{cases}$ , onde  $\begin{bmatrix} \Delta\theta \\ \Delta V \end{bmatrix} = \begin{bmatrix} H & N \\ M & L \end{bmatrix}^{-1} \begin{bmatrix} \Delta P \\ \Delta Q \end{bmatrix}$

11     Incrementar contador  $v \leftarrow v + 1$  e voltar para linha 3.

12 **fim**

---